



národní  
úložiště  
šedé  
literatury

**Využití nově syntetizovaného amocharu ke stabilizaci a sorpci kovů a metaloidů.**

Ouředníček, P.

2016

Dostupný z <http://www.nusl.cz/ntk/nusl-261519>

Dílo je chráněno podle autorského zákona č. 121/2000 Sb.

Tento dokument byl stažen z Národního úložiště šedé literatury (NUŠL).

Datum stažení: 08.06.2024

Další dokumenty můžete najít prostřednictvím vyhledávacího rozhraní [nusl.cz](http://nusl.cz).

## VYUŽITÍ NOVÉ SYNTETIZOVANÉHO AMOCHARU KE STABILIZACI A SORPCI KOVŮ A METALOIDŮ

### SORPTION AND STABILIZATION OF METALS/METALLOIDS BY INNOVATIVE SYNTHESIZED SORBENT AMOCHAR

Petr Ouředníček<sup>1)</sup>, Lukáš Tráka<sup>1)</sup>, Michael Komárek<sup>1)</sup>, Michal Pohorelý<sup>2)</sup>

<sup>1)</sup>Katedra geoenviroinmentalních věd, Fakulta životního prostředí, Česká zemědělská univerzita  
v Praze, Kamenická 129, 165 21 Praha 6-Suchdol, e-mail: oureznicek@fzp.cz

<sup>2)</sup>Faculty of Environmental Sciences, Czech University of Life Sciences Prague, Kamýcká 129,  
165 21 Praha 6-Suchdol, Czech Republic, e-mail: ouradinec@fzp.cz

<sup>3)</sup>Ústav chemických procesů AV ČR, v.v.i., Rozvojová 1/135, 165 02 Praha 6-Suchdol

Institute of Chemical Process Fundamentals of the CAS, v.v.i., Rozvojová 1/135, 165 02 Praha 6-Suchdol, Czech Republic

#### Abstract:

Můžnost sanace půd, které je vloženo na principu stabilizace a immobilizace potenciálně rizikových látek, je v posledních letech intenzivně zkoumána a zkomplektovaná problémami. Jedním z takovéto stabilizačních činností je biocchar, tedy forma aktivovaného uhlí, která má schopnost poupat na své povrchu celou kontaminaci včetně pravé kovů a metalloidů. Vysoká sorpcí kapacita bioccharu, obecne vysoký aktivním povrchem iščito sorbentu, dále přítomnost řady funkčních skupin (např. COO<sup>-</sup>) zodpovídajících za tvorbu cheletátů a alkalicitních pravid (Ca<sup>2+</sup>, K<sup>+</sup>, Na<sup>+</sup> a Mg<sup>2+</sup>), které reprezentují kationtovou výmenu a v neposlední řadě též vysokými hodnotami pH (7,00 až 10,0) bioccharu. Dále lze sponitititum bioccharu i jeho zryšťalování (zejména pak v případě odstranění As(V) nebo Cr(VI)), a to pomocí různých modifikací. A práve modifikací bioccharu pomocí amorfické oksidu manganičí (AMO), byl vyroben nový sorbent AMOChar. Produkt byl připraven přidaním bioccharu přímo do rizikové reakce při syntéze AMO. Samotný AMOChar je tak tvoren především Mn-oxalkály, které jsou přitomny ve formě pavlkatí na povrchu čisticího bioccharu. Sorpční účinnost tohoto sorbantu byla v provedení zásadití pH AMOCharu, vysoká pro všechny testované rizikové prvky. Konkrétně byla sice vysoká sorpcí rejeň pro Pb (téměř 99 %) a Cd (51,2 %), ale i pro As (91,4 %). Modifikace používané tohoto sorbantu pro sanaci půd, dochází k post-kontaminaci pády práve manganičku, který se uvolňuje z Mn-oxalkátu při rozpuštění jinak vysokého učinitelného sorbantu AMO.

#### Abstract:

Remediation of contaminated soil which is based on stabilization and immobilization of potential hazardous substance by sorption materials has been studied intensively nowadays. Biocchar – activated including metals/metalloids. Surface area of the biocchar is quite large in general and functional groups (e.g. COO<sup>-</sup>) can form chelates or alkaline elements on the surface, which is represented by cation exchange capacity. Altogether with the high pH values (7,00 ... 10,0), biocchar are quite effective sorbents and can adsorb metals/metalloids from the solution (ground water), especially in acidic soils (especially for As(V) or Cr(VI) sorption) by modification of biocchar by various types of secondary oxides. Innovative sorbent AMOChar (AMO + biocchar) has been synthesized currently. The product was prepared by adding of biocchar to the reaction solution during amorphous manganese oxide (AMO) synthesis. The AMOChar was formed mainly by Mn-oxalates which had coated surface of the pristine biocchar. AMOChar composite was able to remove significantly higher amounts of various metal(loid)s from the solution despite the rather high pH of the material. Sorption effectiveness was high not only in case of Pb(II) sorption (almost 99%), and Cd(II) (51,2%), but also a very high amount of As(V), 91,4%. Additionally, both AMOChar composite was able to reduce Mn leaching. This can avoid potential post-contamination caused by the dissolution of less stable Mn-oxalates as observed in the pure AMO.

maku a naprostemu  
v použití 0,5 g/l  
lisku a v kyselin  
je snížit imobiliz  
žila nespecifick

dubice.

ns, Boca Raton,

ce, analysis and  
task: Removal

Environmental  
napproxen and  
.2014-12-10].

combination  
cdirect.com.  
of the total  
ersonal care

1-04630-2.

removal of  
44-53052-3.

the aquatic  
innovative

functorive

**Klíčová slova:**  
Sanace půd, stabilizace kovů, modifikace, biochar, sorpcie

**Keywords:**  
Remediation of the soils, stabilization, metals, modification, biochar, sorption

#### Úvod

V posledních letech dochází ke stále se zvyšující introdukci rizikových a toxických látek do životního prostředí, a to ve zvýšené míře především antropogenní činnosti (atmosférická depozice spalin, industriální činnost, doprava apod.) (Nurchi a Villaescusa, 2008). Do této řady skupiny polutantů patří anorganické polutanty, zejména toxické a potenciálně rizikové kovy/metaloidy, které jsou z hlediska biodegradace velmi inertní, tedy jejich koncentrace v kontaminovaném prostředí se v čase samovolně působením přirozených biologických procesů v podstatě nesnižuje (Struckhoff a kol., 2013). Z životního prostředí (voda, půda) se pak mohou velmi snadno dostávat do živých organismů, kde se kumulují (Struckhoff a kol., 2013). Mají jednoduše velmi negativní vliv na živé organismy včetně člověka a mohou způsobovat závažné zdravotní problémy. Běžná sanace kontaminovaného životního prostředí již zmiňovanými polutanty je běžně používanými metodami značně nákladná a často tak nerealizovatelná (Ahyala a kol., 2004). Z této důvody jsou hledány nové metody a způsoby sanace takto postříhaných životních prostředků. K této inovativním metodám patří stabilizace polutantů pomocí vhodných sorpčních materiálů. Biochar lze obecně používat za efektivní sorbenty, především pak potenciálně rizikových toxických kovů a metaloidů, když je běžně dosahováno sorpcie v řádech desítek miligramů na gram materiálu (Mohan a kol., 2014). Vzhledem k vysoké přehlednosti struktury biocharů (vysoký aktivní povrch), mohou být biocharové modifikovány sekundárními oxidy ve snaze o zvýšení sorpční efektivity, jak uvádí Mohan a kol., 2014. Sorpcie kovů/metaloidů pomocí biocharů s rozvinutou strukturou byla statisticky významně zvýšena po modifikaci nedocházel k významné změně (Trakal a kol., 2016). Tento efekt je též zmiňován Mohanem a kol. (2015), Hanem a kol. (2015) a Yanem a kol. (2015). Biochar mohou být modifikovány též oxidy mangani, které mají vysoký potenciál pro immobilizaci či stabilizaci širokého spektra anorganických polutantů. Sorpcie kovů a metaloidů pomocí oxida mangani (AMO) byla popsána Komárek a kol. (2013). Oxidy mangani mohou být použity při sorpcii nejen obvyklých dvojmetocenných kovů (např. Pb, Cd, Cu) (Komárek a kol., 2013), ale též i pro As(V) a Cr(VI), díky oxidačné redukčnímu procesu, komplexací a precipitaci na povrchu hydratovaných oxida mangani (Lenoble a kol., 2004; Komárek a kol., 2013). Přestože je AMO potenciálně velmi dobrým materiálem pro sorpcii toxických kovů, jeho stabilita je nízká (dochází k vysokému louzení Mn z AMO) a je silně ovlivněna pH (Della Puppa a kol., 2013; Etlier a kol., 2014; 2015). Pro možnost reálného použití by musela být stabilita AMO zvýšena. Nabízí se tedy možnost modifikace biocharu pomocí AMO a tedy vzniku inovativního sorbentu, který by mohl kombinovat pozitívnu sorpční vlastnosti obou materiálů a zároveň snižovat vlastnosti negativní (louzení Mn z AMO, pH).

#### Metodika

##### Příprava sorbentů

Biochar byl vyroben pyrolyzou tráviny (odpadních zbytků po sklizni vinné révy), tento typ biocharu byl nejúčinnější pro sorpcii kovů (Trakal a kol.). Následně byl biochar modifikován pomocí AMO v poměru AMO/BC (2:1). Modifikace byla realizována přidáváním biocharu přímo při syntéze AMO dle metodiky Ching a kol. Roztok 1,4 M glukózy byl oxidován 0,4 M roztokem KMnO<sub>4</sub>, do kterého byl vložen biochar v adekvátním poměru. Touto reakcí vznikl gel, který byl promývaný deionizovanou vodou, filtrován a sušen při laboratorní teplotě do konstantní hmotnosti a namlet v laboratorním kulevně mlýně.

##### Základní charakteristika sorbentů

U nově vzniklých modifikovaných biocharů byly stanoveny tyto základní fyzikálně-chemické parametry: pH (sonda inoflab®), pH metr (pH 7310, WTW, Germany),  $pI_{so}$  dle metodiky Fiol a Villaescusa (2009) a CEC pomocí extrakce roztokem BaCl<sub>2</sub> (metodika dle Trakal a kol., 2012). Pomoci rastrovacího elektronového mikroskopu byly pořízeny fotografie struktur modifikovaných biocharů (JEOL JSM-

7401F Fesem (USA) a SEM TESCAN VEGA3XMU (TESCAN Ltd., Czech Republic) vybaveny sondou Bruker QUANTAX200 (EDS).

##### Sorpční experimenty

Pro stanovení sorpční kinetiky a účinnosti sorpcie kovů/metaloidů As(V), Cd(II) a Pb(II), byly provedeny sorpční vadkové experimenty. Modifikované biochar reagovaly s 1 mM roztoky As(V), Cd(II) a Pb(II) (pripravený z Na<sub>2</sub>AsO<sub>4</sub>·7H<sub>2</sub>O, Cd(NO<sub>3</sub>)<sub>2</sub>·4H<sub>2</sub>O a Pb(NO<sub>3</sub>)<sub>2</sub>, p. a., Lach-Ner, Czech Republic) v poměru 500:1 (L:S) s 0,01M NaNO<sub>3</sub> jako elektrolytem. Hodnota pH byla upravena na 5,0 (pro Cd(II) a Pb(II)) a na 7,0 (pro As(V)), aby nedocházel k vystřílení mineralů v roztoku a nemohla tímto způsobem být ovlivněna sorpcí. Tato směs reagovala po dobu 450 minut v přístroji GFL 3013 při 200 otáčkách za minutu. Přiběžně byly odčítány zorky v časových intervalech 3-450 minut, byly filtrovány (0,45-μm nylonový filtr (WWR, Germany)). Koncentrace kovů/metaloidů byly analyzovány (včetně Mn a K) pomocí ICP-OES (Agilent 730, Agilent Technologies, USA).

##### Výsledky

Při pochopení morfologie a struktury AMOcharu při procesu modifikace byly vylobovány fotografie pomocí rastrovacího elektronového mikroskopu. Zde je patrné, že při modifikaci BC dochází k pokrytí čisticí biocharu oxidy Mn (obr. 1c).

Hodnota pH modifikovaného biocharu byla přibližně 8,4. Při porovnání s BC došlo k snížení hodnoty, které je 10,0, v porovnání s AMO je hodnota pH zvýšena. Došlo ke zvýšení CEC u AMOcharu téměř o 50 % v porovnání s BC a k přibližně 56 % v porovnání s AMO. Všechny sledované fyzikálně chemické charakteristiky získané jsou uvedeny v tabulce 1.

Tab. 1: Vybrané fyzikálně chemické parametry studovaných sorbentů.

Materiál	Aktivní povrch (m <sup>2</sup> /g)	pH (-)	pH <sub>zpc</sub> (-)	CEC (cmol/kg)
AMO	14,8	8,10 ± 0,30	8,30 ± 0,10	34,0 ± 1,0
BC	72,0	10,0 ± 0,10	9,92 ± 0,10	40,2 ± 0,3
AMOchar	-	8,47 ± 0,03	7,88 ± 0,10	78,9 ± 1,0

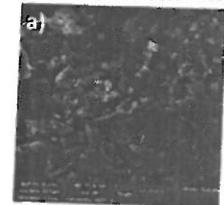
Při porovnání sorpční efektivity materiálů BC vylučoval nižší sorpcii As(V) a Pb(II) v porovnání s ostatními sorbenty (obr. 2a, 2c). V tomto případě byl efekt na sorpcii As(V) zanedbatelný (obr. 2a). Adsorbované množství Cd(II) a Pb(II) bylo přibližně 15 % a 60 % (obr. 2b, 2c), rychlosť sorpcie Cd(II) a Pb(II) v čase kontinuálně klesala.

AMO bylo velmi efektivní při sorpcii sledovaných kovů, což je shodné s Etlierem a kol. (2015). Sorpční účinnost byla téměř 77 % pro As(V) (obr. 2a), 53 % pro Cd(II) (obr. 2b) a 99 % pro Pb(II) (obr. 2c). Rovnovážného stavu bylo dosaženo po několika minutách pro Pb(II), po 1 hod. pro Cd(II) a po 7 hod. pro As(V).

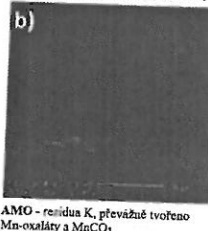
Inovativní sorbent AMOchar je dle dosažených výsledků všeobecným sorbentem, který mimo sorpcii Cd a Pb byl velmi efektivní i pro sorpcii As(V) (obr. 2a-c). Účinnost sorpcie pro Pb byla téměř shodná s AMO (vše než 98 %) (obr. 2c), 51% pro Cd(II) (obr. 2b) a téměř 92% pro As(V) (obr. 2 a). Rovnovážného stavu při sorpcii Pb nastal do 10 minut. Pro Cd(II) bylo stavu rovnováhy dosaženo po 40 minutách. U As(V) byl rovnovážný stav dosažen až po 8 hodinách. Nejrychleji bylo rovnovážného stavu dosažováno u nově modifikovaného AMOcharu.

Bylo též sledováno louzení hlavních komponent používaných sorbentů, tj. K, Mn a DOC (obr. 3 a-c). Změna louzení K z materiálů nebyla v čase statisticky významná, k nejvýšší extrakci K docházelo u materiálu BC (obr. 3b). Míra extrakce K pak reflektovala pořadí BC → AMOchar → AMO. Extrakce Mn z BC byla

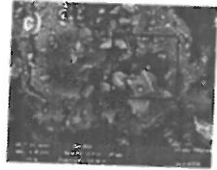
zanechtečná, ovšem u AMO byla zařazena ve vyšší míře (více než 250 mg/l) (obr. 3c). Při sorpcí kovů docházelo ke zvýšení loupění Mn z AMO v čase. U nově modifikovaného AMOcharu, byla extrakce Mn z materiálu významně snížena v porovnání s AMO (obr. 3c). Loupění DOC z materiálu bylo zjištěno nejnižší u BC. K překvapivé nejvyšší loupění loupění DOC docházelo u AMO (obr. 3a). AMOchar vykazoval významné snížení extrakce DOC v porovnání s AMO (obr. 3a). Mín extrakce DOC z AMOcharu byla srovnatelná s extrakcí z BC (obr. 3a).



Biochar - dobré viditelná, vysoko písčitá struktura pyrolyzované biomasy z trávy.

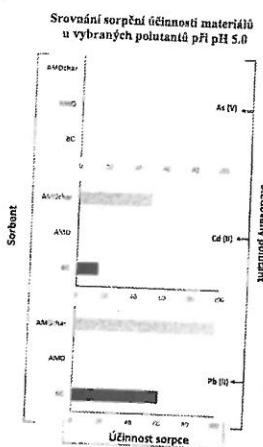


AMO - residua K, převážně tvořeno Mn-oxalaty a MnCO<sub>3</sub>.



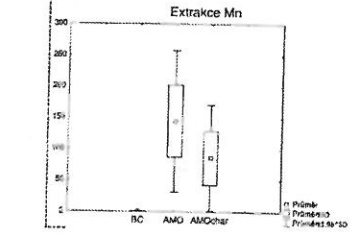
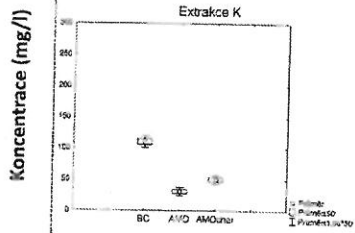
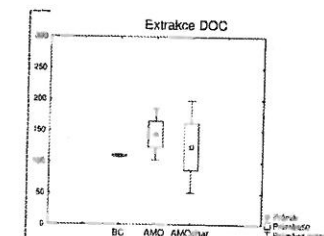
AMOchar - částice biocharu pokryté oksidy Mn. Zvýrazněn je rozdíl u již pokrytých a ještě nepokrytých částic.

Obr. 2: SEM fotografie studovaných sorbentů.



Obr. 1.: Sorpční účinnost studovaných sorbentů pro rizikové polutanty (As, Cd a Pb).

### Extrakce sledovaných prvků při experimentu



Obr. 3.: Extrakce vybraných prvků ze sorpčních materiálů během experimentu.

### Diskuse

Hlavní zvýšení CEC u AMOchar mohlo být pravděpodobně způsoben vzájemnou interakcí Mn oxida s povrchem BC při reakci. CEC sorpčních materiálů je povahována za jeden z hlavních faktorů, které potenciálně zvyšují sorpcí kovů či metalloidů (Trakal a kol., 2014). Z tohoto důležitého je AMOchar potenciálně velmi efektivním sorbcitem. U BC může být kontinuální pokles rychlosti sorpce Cd(II) a Pb(II) vysvětlen částečným vysrážením obou kovů, kdy na počátku experimentu nebylo možné okamžitě zajistit hodnotu pH 5,0 vzhledem k vysokému pH BC, vysoké pH reakčního roztoku na počátku experimentu též ovlivnilo i sorpcí As(V), která byla velmi nízká.

Zvýšení ionizovaného Mn z AMOcharu mohlo být vysvětlen jednak vysokou hodnotou CEC (proti BC a AMO a dále též vysokou afinitou studovaných kontaminantů na Mn oxidy, které intenzivně pokrývají povrch BC při modifikaci na AMOchar).

Zvyšování ionizovaného Mn z AMO chara reflektouje poměrně nízkou stabilitu Mn -oxalátu, kterou zminil i Ettrler, naopak snížení extrakce Mn z AMOcharu v porovnání s AMO lze vysvětlit stabilizací Mn oxalátu ve struktuře BC při syntéze AMOcharu.

### Závěr

Nový syntetizovaný AMOchar je mohutným sorpčním materiálem s významně sníženou extrakcí Mn a DOC v porovnání s AMO. Struktura AMOcharu je tvořena především organickým uhlíkem z biocharu, který je pokryt Mn oxidy a preváží Mn oxalát. I přes vysoké pH<sub>zpt</sub> tohoto materiálu, byla sledovaná vysoká sorpční účinnost nejen pro Pb(II) a Cd(II), ale dokonce i pro As(V), a to přes 90 %. V porovnání s ostatními sorbenty v této studii je tedy vzhledem k uvedeným vlastnostem nejvíce vhodným materiálem a mohl by být využíván k sanaci kontaminovaných pod půdou.

### Poděkování

Tento výzkum byl financován ministerstvem školství, mládeže a tělovýchovy České republiky (COST CZ LD13068), Grantovou agenturou České republiky (GAČR 14-02183P) a interní grantovou agenturou ČU (CIGA č. 20154202).

### Literatura

Ahaya N., Kanamadi R. D., Ramachandra T. V. 2004. Biosorption of heavy metals. *Journal of Chemistry and Environment*, Vol. 7(4): 71-79.

Della Puppa L., Komárek M., Bordas F., Bollinger J. C., Joussein E. 2013. Adsorption of copper, cadmium, lead and zinc onto a synthetic manganese oxide. *J. Colloid Interface Sci.* 399, 99-106.

Ettrler V., Knyd V., Komárek M., Della Puppa L., Bordas F., Mihaljević M., Klementová M., Šebek O. 2014. Stability of a novel synthetic amorphous manganese oxide in contrasting soils, *Geoderma* 214-215, 2-9.

Ettrler V., Tomášová Z., Komárek M., Mihaljević M., Šebek O., Michálková Z. 2015. The pH-dependent long-term stability of an amorphous manganese oxide in smelter-polluted soils: implication for chemical stabilization of metals and metalloids. *J. Hazard. Mater.* 286, 386-394.

Fiol N., Villaescusa I. 2009. Determination of sorbent zero charge: usefulness in sorption studies. *Environ. Chem. Lett.* 7, 79-84.

Han Z., Sani B., Mrozik W., Obst M., Beckingham B., Karapanagioti H. K., Werner D. 2015. Magnetite impregnation effects on the sorbent properties of activated carbons and biochar. *Water Res.* 70, 394-403.

Ching S., Petrovay D. J., Jorgensen M. L., Suib S. L. 1997. Sol-Gel Synthesis of Layered Bimimetic-Type Manganese Oxides. *Inorg. Chem.* 36, 883.

Komárek M., Vaněk A., Ettrler V. 2013. Chemical stabilization of metals and arsenic in contaminated soils using oxides - a review. *Environ. Pollut.* 172, 9-22.

Lenoble V., Laclautre C., Serpaud B., Deluchat V., Bollinger J.-C. 2004. As(V) retention and As(III) simultaneous oxidation and removal on a MnO<sub>2</sub>-loaded polystyrene resin. *Sci. Total Environ.* 316, 197-207.

Mohau D., Sarwat A., Ok Y. S., Pittman Jr., C. U. 2014. Organic and inorganic contaminants removal from water with biochar, a renewable, low cost and sustainable adsorbent - a critical review. *Bioresour. Technol.* 160, 191-202.

Mohau D., Singh P., Sarwat A., Steele P. H., Pittman Jr., C. U. 2015. Lead sorptive removal using magnetic and nonmagnetic fast pyrolysis energy cane biochars. *J. Colloid Interface Sci.* 448, 238-250.

Nurchi V. M., Villaescusa I. 2008. Agricultural biomasses as sorbents of some trace metals, *Coordination Chemistry Reviews*, Vol. 252, 1178-1188.

Struckhoff M. A., Stroh E. D., Grabner K. W. 2013. Effects of mining-associated lead and zinc soil contamination on native floristic quality. *Journal of Environmental Management* 119C: 20-28.

Trakal L., Bingöl D., Pohofely M., Hruska M., Komárek M. 2014. Geochemical and spectroscopic investigations of Cd and Pb sorption mechanisms on contrasting biochars: engineering implications. *Bioresour. Technol.* 171, 442-451.

Trakal L., Veselská V., Šafářík I., Vinková M., Číhalová S., Komárek M. 2016.: Lead and cadmium sorption mechanisms on magnetically modified biochars. *Bioresour. Technol.* 213, 318-324.

Yan L., Kong L., Qu Z., Li L., Shen G. 2015. Magnetic biochar decorated with ZnS nanocrystals for Pb(II) removal. *ACS Sustainable Chem. Eng.* 3, 125-132.

**Seznam používaných zkratek**

AMO	amorfíký oxid mangani, připraven reakcí glukózy a KMnO <sub>4</sub> dle metodiky Ching a kol., 1997.
AMOchar	nově syntetizovaný materiál, modifikovaný biochar, kombinace AMO a BC
BC	nenemodifikovaný biochar, v této studii biochar z trávy (odpad po sklizni vinné révy), který byla pyrolyzována
CEC	# anionického cation-exchange capacity, kationovou výměnnou kapacitou neboli hodnotou (počet výměnných kationů) na konstantní jednotku hmotnosti při dané hodnotě pH, která je v plánu dostupná pro výměnu s půdním roztokem
pH <sub>zpt</sub>	pH nulového náboje, tedy hodnota, kdy elektricky nabíjet na povrchu materiálu je nulová